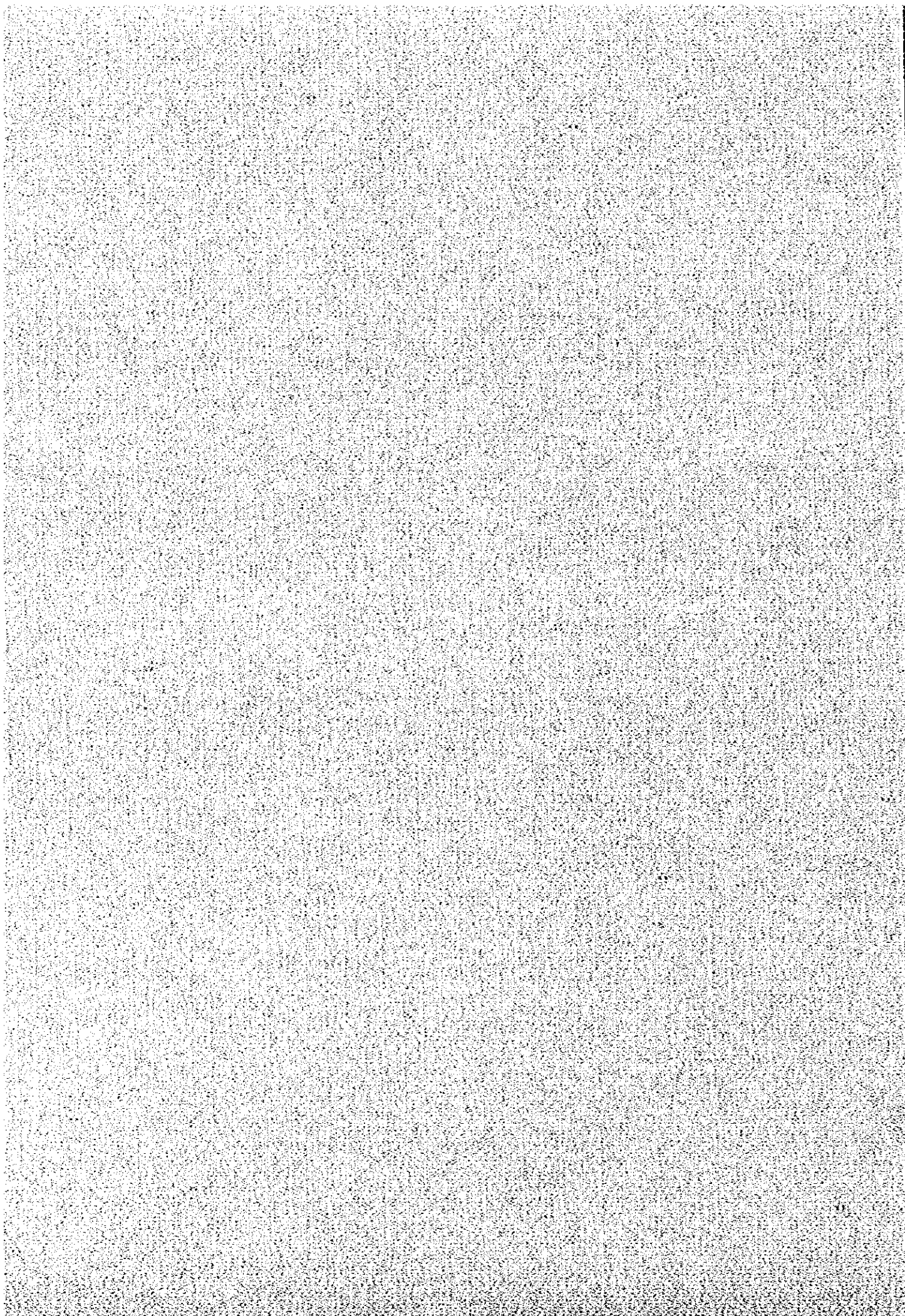


③ 組織的独立について



鉱物資源探査研究センターは、財務、人員、機材、研究分野においてのみ独立性を求め、設備の共用、渉外業務、支援業務及び科学研究補助業務を地球物理研究所に委託している。各研究所の組織を過大に肥大化させるという弊害を避け、少数精鋭的に、我々の資金、器材、人材をJICAの技術移転プロジェクトに集中させてこそ今後を有利に発展させることが可能である。現況では、重要な任務をもつ組織を各分野ですべて独立させることは、多大な負担を免れることになってしまう。

例えば、中国科学院地球物理研究所の職員総数は350名であるが、その内、管理部門や科学研究の補助的業務、支援的業務を行う職員数は94名である。その他、門衛、食堂、清掃作業員16名である。中国科学院から、その研究所の事業費予算は350万元であるが、実質的には200万元をこれらの人員に対する給与及びそれにとりなう費用に支払われている。また、研究者の相当部分の給与及び研究経費は、社会的な任務を積極的にとり行うことにより得ている。

地球物理研究所の現行の管理部門の組織は次の通りである。

所長、副所長

党委員会書記（中国共産党）、副書記

学術委員会

行政事務組織として、

研究所弁公室（研究所内事務、渉外業務）

党委員会弁公室（党事務）

科学技術処（研究計画、研究記録保管、学術交流）

財務処（財務、財務監督）

人事警備処（人事、教育、警備、定年退職者管理）

資産処（固定資産管理）

基本建設処（研究場所、職員住宅）

（元の「後勤処」）サービスセンター（車両班、動力、暖房供給、建物補修、医務室、印刷、食堂等）、これらの一部はすでに独立組織として運営され始めている。

研究補助組織としては、図書館、資料室、学術誌編集部、岩石学会と地球物理学会事務組織がある。

これを見てわかるように、研究組織は実質的には一つの小社会である。独立した新組織としては、目下の状況下では、研究支援部門や研究補助系統の独立組織化を図ることが可能である。が、党事務局、行政事務及び組合、計画出産推進部門等の相応の業務には上述のような組織には未だ存在しなければならない。いかに少数精鋭化を図るかが、中国科学院各研究所の今後の体制改革における重要な内容である。

その他、完全に独立した組織となると、多くの社会的責任を負わなければならない。例えば、電力供給、ガス供給、水道及び正常な経費以外に、資金を集めてパイプラインを付設する必要がある。緑化、環境衛生、交通や所在地周辺の道路補修といった公共事業への支出もある。ここ数年来における、地球物理研究所から、こういった分野への支出年間約10万元であり、時により退役軍人の受け入れ（毎年ではない）や若年失業者の受け入れといったような任務がある。また、職員住宅の建設経費への負担は更に大きいのである。

矿物资源探查研究中心之所以只谋求在财务、人员、器材和研究方向独立的基础上，在设备通关、外事、后勤和科研辅助工作依托于地球物理研究所。在于避免重蹈各研究所力图摆脱的机构臃肿的弊端，精悍队伍，将我们的财力、人力、物力集中于JICA的技术转让，才有利于今后的发展。在目前情况下，一个建设任务繁重的机构要在诸方面独立将会给这支队伍带来沉重的难以摆脱的负担。

例如，中国科学院地球物理研究所，职工总数350名，其中，从事行政管理、科研辅助和后勤工作的在编制人数94名；另雇用门卫、食堂、清洁工作16名。中国科学院每年对该所的事业费拨款为350万元，实际上有200万支付上述人员的工资和相应的费用。而科研人员的相当一部分工资额和研究经费是通过社会争取各项任务来完成的。

地球物理研究所目前的行政机构设置如下。

所长、副所长

党委书记（中共）、副书记

学术委员会

行政办事机构有：

所办公室（所务、外事）

党委办公室（党务）

科技处（科研计划、科技档案、学术交流）

财务处（财务、财务监督）

人事保卫处（人事、教育、保卫、退休人员的管理）

资产处（固定资产管理）

基建处（研究场所、职工住宅）

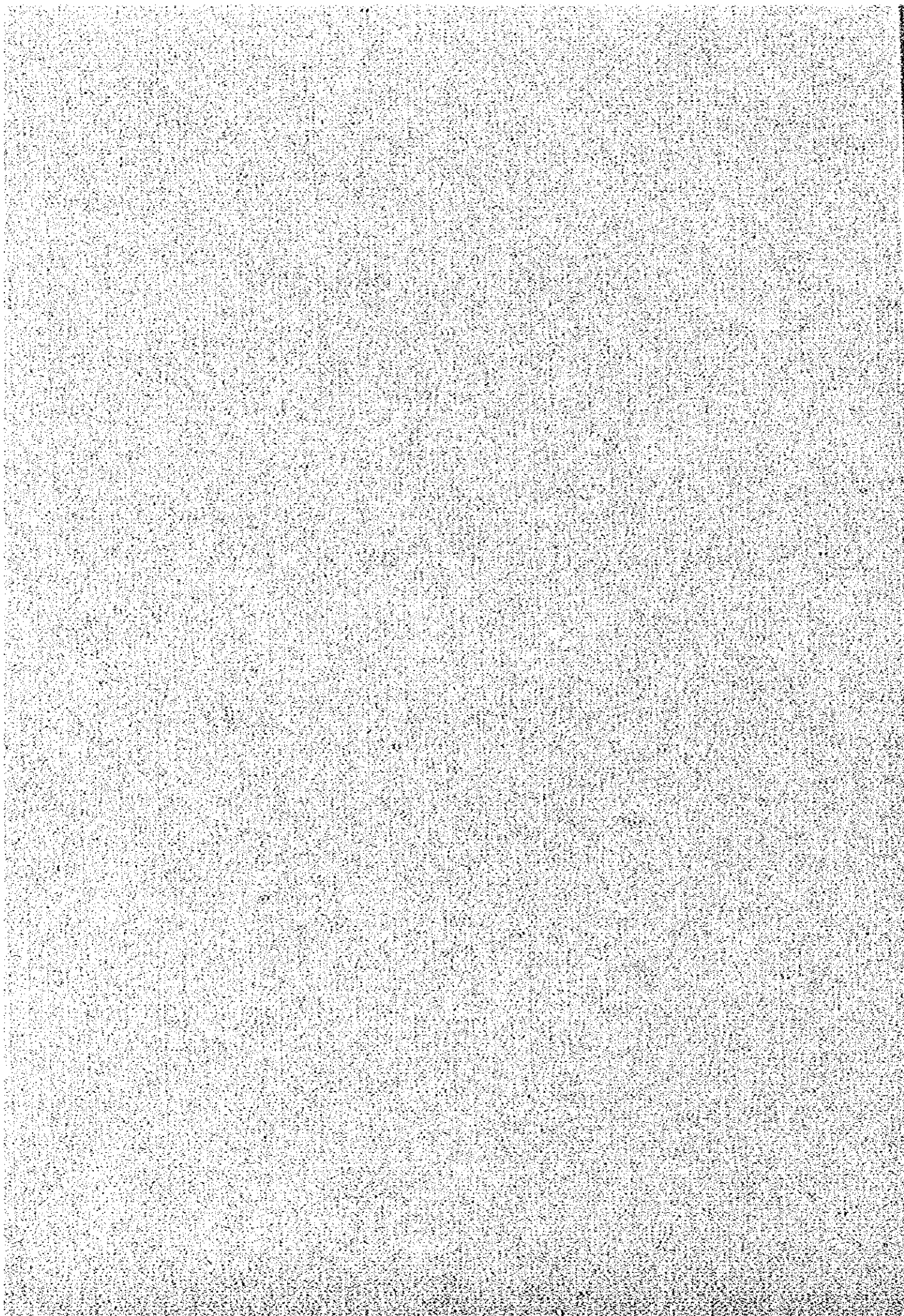
（原后勤处）服务中心（车队、动力、供暖、房屋维修、医务室、印刷、食堂等），这部分已开始向社会化发展。

科研辅助单位包括：图书馆、资料室、学报编辑部、岩石学会和地球物理学会办事机构。

可以看出，这样的研究机构实际上是个小社会，一个完全独立的新机构在目前情况下，可以寻求后勤和科研辅助系统社会化，但是，党务、行政事务乃至工会、计划生育等相应的各项工作，乃需对应存在上述行政机构，如何精兵简政正是中国科学院各研究所今后体制改革的重要内容。

此外，做为一个一切都独立的单位，还要承担许多社会责任，例如：供电、供气、供水，除正常交费外，需集资去铺设管道线路，绿化、环境卫生、交通；所在街道的公益事宜，类似这种支出地球物理研究所近年年平均支出在10万元左右，有时还有接收退伍军人（不是每年）的指标和安排待业青年工作的任务等，那么，筹建职工住宅的经费更是一件难事。

④ 第30回万国地質学会会議提出論文要約



Water and Hydroxyl in Granitic Magmatism

KURODA Yoshimasu, (Japanese Expert Team, The Research Center of Mineral Resources Exploration, Chinese Academy of Sciences)

The granitic activity occurs in the region comprising continental crust under the condition of presence of hydroxyl, or hydroxyl and free phase of water. Granitic rocks formed from the magma only with hydroxyl are different from those formed from the magma containing hydroxyl and free phase of water. Presence or absence of free phase of water in the magma is critically reflected to the geochemical character of hydrous igneous minerals. This can be clarified by the measurement of $H_2O(+)$ content, δD and XFe values of biotite and hornblende.

In granitic rocks formed under the presence of free phase of water the content of $H_2O(+)$ extracted from biotite and hornblende is close to the stoichiometrical value, but in granitic rocks formed under the absence of free phase of water the content is far low than the stoichiometrical value. The XFe- δD relationship of biotite and hornblende of rocks formed from the magma containing free phase of water almost coincides with the relationship derived from Suzuoki-Epstein's experimental formula (1976), and XFe value of hornblende is usually smaller (0.05-0.1) than that of biotite. However, the XFe-D relationship of those formed from magma without free phase of water is completely different from the formula, and XFe values of biotite and hornblende are nearly the same. The D/H fractionation of biotite and hornblende between hydroxyl and the minerals is different from that of free phase of water and the minerals probably due to the difference of configuration of hydroxyl in their crystal structures, but the fractionation factors are not yet determined.

In granitic plutons the content of free phase of water would be variable, but under subduction circumstances free phase of water would be plentiful. Examples are presented and the geological meaning is discussed.

Speaker's name and mailing address: (Please type)

KURODA Yoshimasu, Research Center of Mineral Resources Exploration,
A-11 Datun Road, Beijing 100101, China
Tel: 203-1884 Fax: 203-1141 E-mail: _____

Session Number and Session Title (First 2 or 3 words. Please type):

No. of 1st Choice 6-8. Oral _____ x Poster _____ Either _____ (Check). Title: Water and Hydroxyl Granitic Magma

No. of 2nd Choice _____ Oral _____ Poster _____ Either _____ (Check). Title: _____

No session fits my topic _____ (Check). I submit another abstract of which I am the first author: Yes _____ No X (Check)

Sediment-hosted Micro-disseminated Gold and Evolution of Sedimentary Basin

LIU Jianming (Mineral Resources Center, CAS, P. R. China)

LIU Jiajun (Mineral Resources Dept., Chengdu College of Technology, P.R. China)

In southwestern China, over hundred ore deposits and occurrences of sediment-hosted micro-disseminated gold were discovered during the last two decades. About twenty of them were investigated. The following main features are documented: 1) remarkable stratabound and time-bound features in connection with certain sedimentary basins; 2) ore occurs often in turbidite sequence with hostrock such as siltstone, mudstone, sandstone and chert breccias; 3) ore occurs in transitional zone between shallow water and deep water facies, particularly on marginal slope of submarine highs; 4) many synsedimentary-syndiagenetic fabrics of sulfides such as lamination, convolute bedding, slumping texture, diagenetic crack, etc.; 5) many diagenetic deformation fabrics in ore and hostrock indicating synsedimentary faulting; 6) many water-escape and liquefaction fabrics in ore and hostrock indicating strong fluid transport during sediment evolution; 7) high content of organic matters and various kinds of biological fabrics of sulfides; 8) little difference between ore and hostrock, ore-bodies can be contoured out only by chemical analytical data; 9) ore-bodies are often developed along faults, that can usually be connected with synsedimentary faulting; 10) mineral association and alteration assemblage are typically low-temperature; 11) gold in ore is invisible, i.e. micro-disseminated; 12) ore and its sedimentary hostrock shows similar geochemical features, implying that both of them are probably product of same processes. 13) there are also some epigenetic features such as vein-type ore-bodies.

Genetical conclusions: 1) Evolution of a taphrogenetical basin, superimposed on continental crust in extension tectonic background, is controlled by many synsedimentary faults of various scales. 2) During evolution of sedimentary basin, there were a lot of basin fluids (100-200 °C, including water, oil and gas), that were often metal rich and bound to move and be concentrated along synsedimentary faults. They could unload their solutes in the faults and produce vein ore-bodies, or reach the sea bottom along the faults and then form ore-bearing sediments. 3) Gold might be transported in the form of organometalic complexes with large molecules, and its deposition might be resulted from various kinds of absorption, that gives rise to the result of micro-disseminated distribution of gold and close connection with organic matters. In another word sediment-hosted micro-disseminated gold is, just like oil and gas, one product of sedimentary basin evolution.

Fe-Li Micas Are Not Al_{IV} -, But \square_{VI} -constant

SUN Shihua and YU Jie

Research Center of Mineral Resources Exploration, Chinese Academy of Sciences

Fe-Li micas are typomorphic minerals of rare-metal granites. With the increase in F-, Li- and Al-contents from early- to later-stages of granites in southeastern China, the Fe-Li mica species vary from ferrobioite and siderophyllite to protolithionite, zinnwaldite, cryophyllite and lepidolite. Such a variation trend of real micas was explained by various types of isomorphous replacements by Ginzburg & Berkhin(1953), Foster(1960), Rieder(1970), Lapidec et al.(1977), Stone et al.(1988), and SUN(1988). Which explanation could most conform to the reality?

In this paper it is attempted to resolve this problem by the two concepts of *real Fe-Li mica plane* and *essential replacement of Fe-Li mica series*. There are five kinds of ideal replacement planes for Fe-Al-Li micas, that is, Al_{IV} -constant(ATM), octahedral vacancy \square_{VI} -constant(APTE), Al_{VI} -constant(PSE), Fe^{+2} -constant(PMT) and Li-constant(ASE) planes. The departure of an ideal plane from real mica points could be measured by variance(ν) of distances of mica points to the plane, or by the angle($\arcsin\alpha$) formed by the plane and the variation trend of real micas. The ideal plane that is of the smallest departure is defined as the real Fe-Li mica plane. Secondly, the isomorphous replacements suggested by the authors mentioned above could be represented by replacement vectors, which lie on planes of APTE or PSE, or on cross-lines of APTE-PSE or APTE-ATM. The closeness of a replacement vector to the variation trend of real micas could be measured by angle($\arccos\beta$) between the vector and the trend. The replacement vector most closing to this variation trend is defined as the essential replacement of Fe-Li mica series. The variation trend of real micas could be represented by the first eigenvector(V_1) of principal components analysis for their chemical compositions.

There are 5 groups (258 analyses) of Fe-Li mica data for calculating values of ν , $\arcsin\alpha$ and $\arccos\beta$: one group of which is from China, and the others from Foster(1960) and other authors. Similar results for each group have been gotten: APTE-related values of ν (0.06~0.34) and $\arcsin\alpha$ ($0.3^\circ \sim 4.3^\circ$), and ET- or AP-related values of $\arccos\beta$ ($4^\circ \sim 7^\circ$) are all the smallest. Here vectors of AP(SUN, 1988) and ET lie on plane of APTE, and represent the replacements $2Al_{IV} + 4Fe^{+2} \rightarrow 2Si + Al_{VI} + 3Li$ and $Al_{IV} + 3Fe^{+2} \rightarrow Si + Al_{VI} + 2Li$, respectively.

Therefore, the conclusions are that Fe-Li micas are neither Al_{IV} - nor Al_{VI} -constant ones as which are generally regarded, but \square_{VI} -constant or trioctahedral micas, and that the essential replacement of Fe-Li mica series lies between the vectors of ET and AP, and most conforms to the variation trend of real micas.

YU Jie, Research Center, P.O.Box 9701, 100101, Beijing, China

于洁, 100101 北京 9701 信箱, 矿物资源探查研究中心

Tel. 2011118-340, 2027766-211; Fax. 2031995

Session 7-2, Oral. Title: Genetic mineralogy and its applications.

Could Water Mixing at Frontal Zone Result in Syndimentary Enrichment of Ore Materials?

LIU Jianming (Mineral Resources Center, CAS, P.R. China)

Sea water, one of the most powerful sources of ore materials, is heterogeneous. Water masses, defined by their different physicochemical parameters and compositions, such as temperature, salinity, pH, Eh, concentration of CO₂ and other elements (including ore materials), in their vertical and horizontal movement, come in contact. Their contact boundaries, a inclined planar zone called "oceanic frontal zone", are obviously geochemical barriers, where waters with different physicochemical parameters mix and interact with each other, resulting in precipitation and local enrichment of ore materials in sediments. That is a possible process of syndimentary enrichment of ore materials.

Example 1: Upwelling regions, where phosphate enrichment as well as oil and gas occurs with large significance. Upwelling refers to ascending motion of sea water from subsurface layer into the surface layer. This causes at the surface anomalies of physical (e.g. temperature, salinity, density, water colour), chemical (e.g. oxygen, nutrients) and biological (e.g. chlorophyll, plankton) properties. The ascending cool, nutrient-rich (including P, N, Fe, Cu etc.) and oxygen-poor subsurface waters fertilize the euphotic surface layer over the upwelling shelf. This results in an abnormally large biological production, and influences the features of sediments.

Example 2: There is in ocean a horizontal oxygen minimum zone with high concentration of dissolved Fe and Mn. If during motion of sea currents, this oxygen minimum layer comes in contact with surface water or deep water (both of them are relatively oxygen-rich), then Fe- and Mn-oxides will possibly be precipitated because of oxidation. This might be one of the formation processes of ferromanganese crusts and nodules (Fig 1).

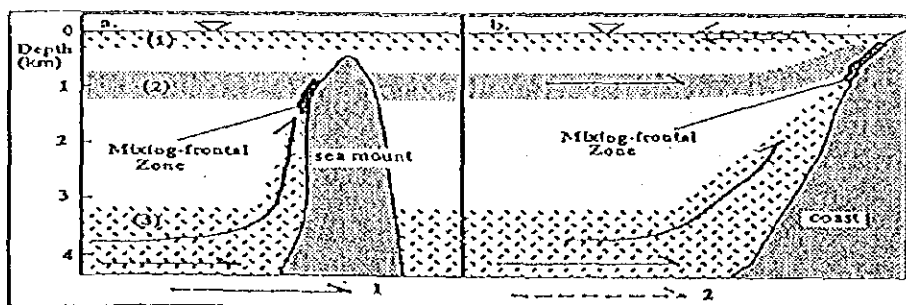


Fig1: (1), (2) and (3) indicates surface water, O-poor layer and bottom water; 1 and 2 indicates motion of sea water current and air current (winds).

LIU Jianming, Mineral Center, P.O.Box 9701, 100101 Beijing, China

刘建明, 100101北京9701信箱, 矿产资源探查研究中心

Tel. 2011118-334; Fax. 2031995.

Session: 4-4 Oral. Title Marine geological environments and pal...

SULFUR ISOTOPES OF KAIYANG PHOSPHORITES AND THEIR $\delta^{34}\text{S}$ LIMIT FOR THE LATE PROTEROZOIC SEAWATER

CHU Xuelei (The Research Center of Mineral Resources Exploration, Chinese Academy of Sciences, P.R. China); CHEN Qiying and FENG Lanying (Institute of Geology, Chinese Academy of Sciences, P.R. China)

Since a little of sulfate (SO_4^{2-}) may occur in francolite lattice as an isomorphous substitution for phosphate (PO_4^{3-}), sulfur isotopic investigations on marine phosphorites have interested some geochemists, who investigated sulfur isotopes of the sulfate for the marine phosphorites since the Phanerozoic, and origin, sedimentary and diagenetic environments of phosphorites.

The Kaiyang phosphorite deposit in central Guizhou is a famous Late Sinian phosphorite deposits in China. The simple and stable ore bed occurs in the Doushantuo Formation of the Upper Sinian. The phosphorite-bearing series is composed of phosphorite ore bed, the underlying gray-green argillaceous quartzose sandstones, and the overlying manganiferous dolomites and siliceous banded dolomites. There are a little of clay minerals, quartz and pyrite, except dominant francolite (over 95%), in the ore bed.

All the $\delta^{34}\text{S}$ values of phosphorites range from +34.2‰ to +42.4‰. There are no significantly isotopic differences between psammitic and stromatolitic phosphorites or between upper and lower parts of ore bed. The $\delta^{34}\text{S}$ variation of the phosphorites suggests that isotope kinetic fractionation occurred during the sedimentation and diagenesis of the phosphorites. For the authigenic pyrites in the ore bed, the $\delta^{34}\text{S}$ values range from +15.4‰ to +19.8‰.

Yang et al. (1994) determined an ore-genetic age of 645.4 ± 23 Ma for the phosphorites in the Doushantuo Stage by using Sm-Nd isochron method. Considering that the $\delta^{34}\text{S}$ values of phosphorite are usually equal to or higher than those of the corresponding seawater (Nathan and Nielsen, 1980) and the isotope kinetic fractionation between seawater sulfate and biogenic sulfide is at least 10‰, we suggest that the $\delta^{34}\text{S}$ value of the seawater at least 645 Ma ago should be still about +30‰ based on the sulfur isotopic data of the Kaiyang phosphorites and pyrites.

CHU Xuelei, The Research Center of Mineral Resources Exploration, P. O. Box 9701, Beijing 100101, P.R. China

Tel: (010)2011118-334; Fax: (010)2031995.

Session Number: 12-7; Either; Title: Isotope geochemistry and its technology

PSEUDOIMAGES AND ITS GEOLOGICAL INTERPRETATION IN SEISMIC TOMOGRAPHY

CHIANG Xu

(The Research Center of Mineral Resources Exploration, Chinese Academy of Sciences,
P. R. China, 100101)

The present paper proposes the pseudoimages forming and its geological interpretation in seismic tomography method.

Seismic tomography technique has been practice first and get the study more detailed. In this period, the practice technique and the method of geological interpretation have been pushed forward an extremely important place. In the travel time seismic velocity tomography, the observation in all of positions are impossible because the positions of the seismic sources and receivers are restricted by natural situation of the ground. In this case, the pseudoimages in the result of velocity image are inevitable. Seismic velocity pseudoimages will appear in many cases. In this study, we use some geological model to make a simulation in order to clarify the reasons of the pseudoimages forming. The conclusions from the results of the simulation in this study are as follows: Excepting error by the inversion algorithm, seismic rays distribution is the most important reason of the pseudoimages forming. The reasons from the seismic rays distribution content the relative position between seismic source and receivers, the relative relations between the ray path and abnormal velocity body underground, and the uniformity of the rays distribution. In this study, it is clarified that (1) nonuniform rays distribution can lead to false velocity disturbance in the result of the velocity image, (2) nonuniform rays distribution can cause more error than an inaccurate ray path. This study gives a method about how to distinguish the pseudoimages in the result of the velocity inversion by using seismic rays distribution map. The result of this study has a directive function to the field data acquisition method and geological interpretation in seismic tomography.

CHIANG Xu

The research Center of Mineral Resources Exploration, Chinese Academy of Sciences

P. O. Box 9701, Beijing, 100101, P. R. China

Tel: 201-1118 ext. 334; Fax: 203-1995

Session number: 13-4 Oral. Title: Exploration geophysics

$^{18}\text{O}/^{16}\text{O}$ EXCHANGE KINETICS BETWEEN COEXISTENT MINERALS AND WATER IN THE ALAER GRANITE PLUTON, ALTAY MTS., NORTHWESTERN CHINA

LIU Wei (The Research Center of Mineral Resources Exploration, Chinese Academy of Sciences, P.R. China)

Coexistent minerals quartz, feldspar and biotite from 11 samples display remarkable disequilibrium $^{18}\text{O}/^{16}\text{O}$ relation in the Alaer Palaeozoic megaphenocrystic biotite granite pluton. Data points correlate with one another positively in values of $\delta^{18}\text{O}_{\text{Quartz}}$, $\delta^{18}\text{O}_{\text{Feldspar}}$ and $\delta^{18}\text{O}_{\text{Biotite}}$. As a result, the $^{18}\text{O}/^{16}\text{O}$ exchange reaction between coexistent minerals must have occurred under the open system conditions. The exotic fluid is metamorphic water rich in ^{18}O . Increase speed and magnitude of $\delta^{18}\text{O}_{\text{Feldspar}}$ were greater than those of $\delta^{18}\text{O}_{\text{Quartz}}$ during the initial stage, as k_{Feldspar} is greater than k_{Quartz} . So $\Delta^{18}\text{O}_{\text{Quartz-Feldspar}}$ value was gradually decreased until it became negative, i.e. reversed. Initial $\delta^{18}\text{O}$ values of the granite and exotic water are evaluated by the mass balance consideration. Micropetrographically, plagioclase is generally sericitized weakly, and, locally, zoning can be observed in it. Clouding or turbidity is extensively developed in plagioclase and, locally, in k-feldspar.

$\delta^{18}\text{O}_{\text{Quartz}}$ value always increases, as $\alpha_{\text{Quartz/Feldspar}}$, $\alpha_{\text{Quartz/Biotite}}$ and $\alpha_{\text{Quartz/Water}}$ are all gradually increased with the decrease in temperature. As k_{Feldspar} and k_{Biotite} are far greater than k_{Quartz} , feldspar-biotite and feldspar-water $^{18}\text{O}/^{16}\text{O}$ exchanges are more extensively developed than the feldspar-quartz exchange resulting in the increase in $\delta^{18}\text{O}_{\text{Feldspar}}$ value during the initial stage. $\delta^{18}\text{O}_{\text{Biotite}}$ value is slightly decreased during the initial stage as $\alpha_{\text{Biotite/Quartz}}$ and $\alpha_{\text{Biotite/Feldspar}}$ are both gradually decreased with the decrease in temperature. With increase in the cumulative flux of the fluid, the $^{18}\text{O}/^{16}\text{O}$ exchange between it and minerals eventually dominates the whole exchange reaction. Both values of $\delta^{18}\text{O}_{\text{Feldspar}}$ and $\delta^{18}\text{O}_{\text{Biotite}}$ increase.

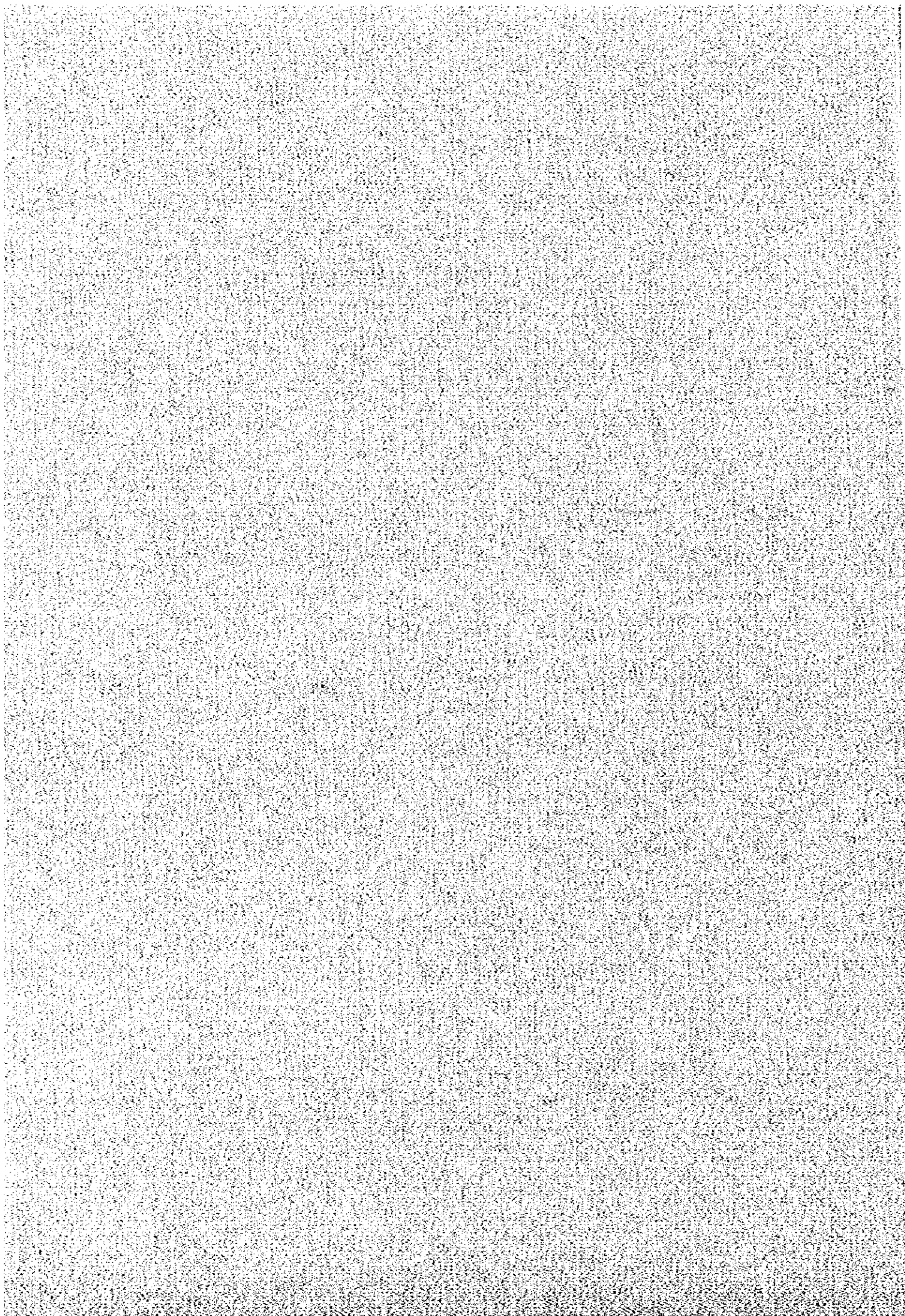
The hydrothermal system associated with the pluton is modelled to be long-lived (0.8~6 Ma), with relatively high fluid flow rate (3×10^{-14} mol. s^{-1}) and high W/R ratio (0.79~6.14). Relative rate constants of minerals are as follows: $k_{\text{Quartz}}: k_{\text{Feldspar}}: k_{\text{Biotite}}=1: 5: 2$. Relatively higher and lower $\delta^{18}\text{O}_{\text{Fluid}}$ values are distributed, respectively, along margin of the pluton and within its central part. This suggests that the metamorphic fluid flow from the metamorphic country rocks towards inside the pluton. Driven by the plutonic "heat engine", the fluid is pumped and extracted from the country rocks through margin and lower part of the pluton inwards and upwards. The emplacement environment somewhat represents the recharge place for the metamorphic fluid

LIU Wei, The Research Center of Mineral Resources Exploration, Chinese Academy of Sciences, P.O. Box 9701, 100101 Beijing, P.R. China

Tel: 2011118-334; Fax: 2031995

Session Number: 12-1 Oral. Title: Fluid-rock interactions and their mechanisms

⑤ 中国側作成資機材及び備品登録台帳



中国矿物资源探查研究中心
设备登记表

日期	设备名称	设备英文名称	厂牌型号	价格	国别	合同号	来源	设备编号
1994.9	打印机	Printer	CANON BJ-220JII	62,000 日元	日本	H6-523	赠送	0001-J
1994.9	个人计算机	Personal Computer	Macintosh LC 575	258,700 日元	美国	H6-523	赠送	0002-J
1995.7	高频炉	High Frequency Furnace	W-303	3,219,800 日元	日本	H7-467	赠送	0003-J
1995.7	水蒸馏器	Water Still	WG200	541,000 日元	日本	H7-467	赠送	0004-J
1994.10	高温计	Pyrometer	Model: 760	150,000 日元	日本	H6-600	赠送	0005-J
1994.10	旋转台	Revolving Table		600,000 日元	日本	H6-600	赠送	0006-J
1995.7	冷水循环器	Cooling Water Circulator	BC55P	1,038,000 日元	日本	H7-467	赠送	0007-J
1995.7	离心机	Centrifuge		561,000 日元	日本	H7-467	赠送	0011-J
1995.7	X射线衍射仪	X-Ray Diffractometer System	理学D/MAX-2400	10,270,000 日元	日本	H7-467	赠送	0038-J
1995.7	单色光仪	Counter Monochro Meter		943,000 日元	日本	H7-467	赠送	0039-J
1995.7	分离器	Magnetic Separator	L-1	2,355,000 日元	日本	H7-467	赠送	0040-J

⑤ 赠送：日本からの供与機材
自购：中国側購入

中国矿物资源探查研究中心
设备登记表

日期	设备名称	设备英文名称	厂牌型号	价格	国别	合同号	来源	设备编号
1995.7	激光打印机	Laser Printer	HP LaserJet 4 plus	260,000日元	日本	H7-467	赠送	0041-J
1995.7	偏光显微镜	Polarizing Microscope	X2TP-11	1,884,000日元	日本	H7-467	赠送	0042-J
1995.7	偏光显微镜	Polarizing Microscope	X3TP-11	1,884,000日元	日本	H7-467	赠送	0043-J
1995.7	切割机	Cutter	MC-110	772,400日元	日本	H7-467	赠送	0044-J
1995.7	石墨晶体	Graphite Crystal		400,000日元	日本	H7-467	赠送	0045-J
1995.7	水氢提取装置	W-H Extraction Equipment		9,487,000日元	日本	H7-467	赠送	0046-J
1995.7	水循环装置	Water Circulation Device		2,100,000日元	日本	H7-467	赠送	0047-J
1995.7	通风橱	Fume Hood	FHS-150P.S	1,350,000日元	日本	H7-467	赠送	0048-J
1995.7	通风橱	Fume Hood	FHS-150P.S	1,350,000日元	日本	H7-467	赠送	0049-J
1995.7	通风橱	Fume Hood	FHS-150P.S	1,350,000日元	日本	H7-467	赠送	0050-J
1995.7	微机工作站	Workstation	HP 712/60	910,000日元	日本	H7-467	赠送	0051-J

中国矿物资源探查研究中心
设备登记表

日期	设备名称	设备英文名称	厂牌型号	价格	国别	合同号	来源	设备编号
1995.7	显微镜冷热台	Heating/Freezing Equipment	Fluid Inclusion Co.	3,182,000日元	美国	H7-467	赠送	0052-J
1995.7	样品粉碎机	Sample Crusher	2002-EX	1,253,000日元	日本	H7-467	赠送	0053-J
1995.7	预磨机	Perpalap		2,146,400日元	日本	H7-467	赠送	0054-J
1995.7	越野车	MOTOR VEHICLE	NISSAN PATROL	2,060,000日元	日本	H7-467	赠送	0055-J
1995.7	照像辅助装置	Photographic attachment	UFX-DX-DWA	894,000日元	日本	H7-467	赠送	0056-J
1995.7	折射仪	Refractometer		539,000日元	日本	H7-467	赠送	0057-J
1995.7	自动计数器	Automatic point counter		819,000日元	日本	H7-467	赠送	0058-J
1995.7	自动磨片机	Doctor lap	ML-180	1,287,200日元	日本	H7-467	赠送	0059-J
1995.7	自动转换器	Autotransformer	3相, 20KVA	240,000日元	日本	H7-467	赠送	0060-J
1995.7	自动转换器	Autotransformer	3相, 15KVA	210,000日元	日本	H7-467	赠送	0061-J
1995.7	自动转换器	Autotransformer	3相, 5KVA	100,000日元	日本	H7-467	赠送	0062-J

中国矿物资源探查研究中心
设备登记表

日期	设备名称	设备英文名称	厂牌型号	价格	国别	合同号	来源	设备编号
1995.7	放射性测量仪	Cupper meter	KT-5	450,000日元	日本	H7-509	赠送	0063-J
1995.7	放射性测量仪	Cupper meter	KT-5	450,000日元	日本	H7-509	赠送	0064-J
1995.7	气压表	Barometer	6000m TX-22	39,000日元	日本	H7-509	赠送	0065-J
1995.7	气压表	Barometer	6000m TX-22	39,000日元	日本	H7-509	赠送	0066-J
1995.7	气压表	Barometer	6000m TX-22	39,000日元	日本	H7-509	赠送	0067-J
1995.7	数据后盖	Data bag	Nikon MF-16	15,200日元	日本	H7-509	赠送	0068-J
1995.7	数据后盖	Data bag	Nikon MF-16	15,200日元	日本	H7-509	赠送	0069-J
1995.7	数字射线仪	Digital radiant rays supply meter	PSD-6021A(L)	84,000日元	日本	H7-509	赠送	0070-J
1995.7	数字射线仪	Digital radiant rays supply meter	PSD-6021A(L)	84,000日元	日本	H7-509	赠送	0071-J
1995.7	卫星定位仪	Portable GPS	Sony IPS-760	169,100日元	日本	H7-509	赠送	0072-J
1995.7	卫星定位仪	Portable GPS	Sony IPS-760	169,100日元	日本	H7-509	赠送	0073-J

中国矿物资源探查研究中心
设备登记表

日期	设备名称	设备英文名称	厂牌型号	价格	国别	合同号	来源	设备编号
1995.7	卫星定位仪	Portable GPS	Sony IPS-760	169,100日元	日本	H7-509	赠送	0074-J
1995.7	照像机机身	Camera	Nikon FM2	55,000日元	日本	H7-509	赠送	0075-J
1995.7	照像机机身	Camera	Nikon FM2	55,000日元	日本	H7-509	赠送	0076-J
1995.7	照像机镜头	Interchangeable lens	Nikon AF35-70mm F3.3-4.5	20,200日元	日本	H7-509	赠送	0077-J
1995.7	照像机镜头	Interchangeable lens	Nikon AF35-70mm F3.3-4.5	20,200日元	日本	H7-509	赠送	0078-J
1996.3	越野车	MOTOR VEHICLE	NISSAN PATROL 4WD STD	2,140,000日元	日本	H7-1545	赠送	0102-J

中国矿物资源探查研究中心
设备登记表

日期	设备名称	厂牌型号	价格	国别	合同号	来源	设备编号
1994.10	窗式空调器	三洋	5,700元	日本		自购	0008-C
1994.10	窗式空调器	三洋	5,700元	日本		自购	0009-C
1994.10	柜式空调器	东芝	24,000元	日本		自购	0010-C
1994.12	吸尘器	春花1000W	465元	中国		自购	0012-C
1995.4	复印机	佳能2120	27,950元	日本		自购	0013-C
1995.4	幻灯机	葡萄牙/AF	2,690元	葡萄牙		自购	0014-C
1995.4	激光教鞭	MP-180	820元	香港		自购	0015-C
1995.4	幕布、架		530元	中国		自购	0016-C
1995.4	投影仪	2800	6,450元			自购	0017-C
1995.5	UPS电源	山特STK 500W	750元	美国		自购	0018-C
1995.5	UPS电源	山特STK 500W	750元	美国		自购	0019-C

中国矿物资源探查研究中心
设备登记表

日期	设备名称	厂牌型号	价格	国别	合同号	来源	设备编号
1995.5	UPS电源	山特STK 500W	750元	美国		自购	0020-C
1995.5	UPS电源	山特STK 500W	750元	美国		自购	0021-C
1995.5	UPS电源	山特STK 500W	750元	美国		自购	0022-C
1995.5	UPS电源	山特STK 500W	750元	美国		自购	0023-C
1995.5	打印机	LQ1600K	3,900元	美国		自购	0024-C
1995.5	激光打印机	苹果Laserwriter 320	8,726元	美国		自购	0025-C
1995.5	激光打印机	HP LaserJet 4 plus	12,900元	美国		自购	0026-C
1995.5	激光扫描仪	HP II CX	8,800元	美国		自购	0027-C
1995.5	喷墨打印机	HP500Q	2,800元	美国		自购	0028-C
1995.5	喷墨打印机	HP500Q	2,800元	美国		自购	0029-C
1995.5	喷墨打印机	彩喷525Q	4,200元	美国		自购	0030-C

中国矿物资源探查研究中心
设备登记表

日期	设备名称	厂牌型号	价格	国别	合同号	来源	设备编号
1995.5	微机	IBM486	18,800元	美国		自购	0031-C
1995.5	微机	Macintosh LC475 486	9,800元	美国		自购	0032-C
1995.5	微机	AST 486	11,050元	美国		自购	0033-C
1995.5	微机	AST 486	11,050元	美国		自购	0034-C
1995.5	微机	AST 486	11,050元	美国		自购	0035-C
1995.5	微机	AST 486	11,050元	美国		自购	0036-C
1995.6	小轿车	捷达	158,000元	中国		自购	0037-C
1995.7	壁挂式空调器	三菱12LV	13,500元	日本		自购	0079-C
1995.7	壁挂式空调器	三菱17LV	13,500元	日本		自购	0080-C
1995.7	壁挂式空调器	三菱17LV	13,500元	日本		自购	0081-C
1995.7	壁挂式空调器	三菱17LV	13,500元	日本		自购	0082-C

中国矿物资源探查研究中心
设备登记表

日期	设备名称	厂牌型号	价格	国别	合同号	来源	设备编号
1995.7	柜式空调器	三菱FDF304	25,000元	日本		自购	0083-C
1995.7	柜式空调器	三菱FDF304	25,000元	日本		自购	0084-C
1996.1	壁挂式空调器	三菱12LV	10,200元	日本		自购	0085-C
1996.1	壁挂式空调器	三菱12LV	10,200元	日本		自购	0086-C
1996.1	壁挂式空调器	三菱12LV	10,200元	日本		自购	0087-C
1996.1	壁挂式空调器	三菱12LV	10,200元	日本		自购	0088-C
1996.1	壁挂式空调器	三菱12LV	10,200元	日本		自购	0089-C
1996.1	壁挂式空调器	三菱12LV	10,200元	日本		自购	0090-C
1996.1	壁挂式空调器	三菱12LV	10,200元	日本		自购	0091-C
1996.1	壁挂式空调器	三菱12LV	10,200元	日本		自购	0092-C
1996.1	壁挂式空调器	三菱12LV	10,200元	日本		自购	0093-C

中国矿物资源探查研究中心
设备登记表

日期	设备名称	厂牌型号	价格	国别	合同号	来源	设备编号
1996.1	壁挂式空调器	三菱12LV	10,200元	日本		自购	0094-C
1996.1	照像机	尼康600Q	1,480元	日本		自购	0095-C
1996.1	照像机	尼康600Q	1,480元	日本		自购	0096-C
1996.1	照像机	三星AFSLM	1,640元	韩国		自购	0097-C
1996.1	照像机	三星AFSLM	1,640元	韩国		自购	0098-C
1996.1	照像机	三星28S	1,200元	韩国		自购	0099-C
1996.1	照像机机身	尼康601QD	3,680元	日本		自购	0100-C
1996.1	照像机镜头	尼康AF28 - 85mm	3,580元	日本		自购	0101-C
1996.4	壁挂式空调器	三菱12LV	10,200元	日本		自购	0103-C

中国矿产资源探查研究中心
家俱登记表

购入日期	编号	名称	价格 (元)	厂商	使用单位	房号	领出人	领出日期	变更情况
94年8月	F-001	卷歇椅(套)	1450.00						
94年8月	F-002	大茶几	205.00						
94年8月	F-003	四门书柜	340.00						
94年8月	F-004	四门书柜	340.00						
94年8月	F-005	四门书柜	340.00						
94年8月	F-006	四门书柜	340.00						
94年8月	F-007	四门书柜	340.00						
94年8月	F-008	四门书柜	340.00						
94年8月	F-009	五轮转椅	230.00						
94年8月	F-010	五轮转椅	230.00						
94年8月	F-011	五轮转椅	230.00						
94年8月	F-012	写字台	410.00						
94年8月	F-013	写字台	410.00						
94年8月	F-014	写字台	410.00						
94年12月	F-015	餐椅	78.00						
94年12月	F-016	餐椅	78.00						
94年12月	F-017	餐桌	180.00						
94年12月	F-018	单门衣柜	290.00						

中国矿物资源探查研究中心
家俱登记表

购入日期	编号	名称	价格 (元)	厂商	使用单位	房号	领出人	领出日期	变更情况
94年12月	F-019	单门衣柜	290.00						
94年12月	F-020	老板台	686.00						
94年12月	F-021	木软椅	92.00						
94年12月	F-022	木软椅	92.00						
94年12月	F-023	木软椅	92.00						
94年12月	F-024	木软椅	92.00						
94年12月	F-025	木软椅	92.00						
94年12月	F-026	木软椅	92.00						
94年12月	F-027	双门衣柜	500.00						
94年12月	F-028	双门衣柜	500.00						
94年12月	F-029	写字台	410.00						
94年12月	F-030	写字台	410.00						
94年12月	F-031	写字台	410.00						
94年12月	F-032	阅览桌	210.00						
94年12月	F-033	阅览桌	210.00						
94年12月	F-034	阅览桌	210.00						
94年12月	F-035	阅览桌	210.00						
94年12月	F-036	阅览桌	210.00						

中国矿物资源探查研究中心
家俱登记表

购入日期	编号	名称	价格 (元)	厂商	使用单位	房号	领出人	领出日期	变更情况
94年12月	F-037	阅览桌	210.00						
94年12月	F-038	折叠椅	90.00						
94年12月	F-039	折叠椅	90.00						
94年12月	F-040	折叠椅	90.00						
94年12月	F-041	折叠椅	90.00						
94年12月	F-042	折叠椅	90.00						
94年12月	F-043	折叠椅	90.00						
94年12月	F-044	折叠椅	90.00						
94年12月	F-045	折叠椅	90.00						
94年12月	F-046	折叠椅	90.00						
94年12月	F-047	折叠椅	90.00						
94年12月	F-048	折叠椅	90.00						
94年12月	F-049	折叠椅	90.00						
94年12月	F-050	折叠椅	90.00						
94年12月	F-051	折叠椅	90.00						
94年12月	F-052	折叠椅	90.00						
94年12月	F-053	折叠椅	90.00						
94年12月	F-054	折叠椅	90.00						

中国矿物资源探查研究中心
家俱登记表

购入日期	编号	名称	价格 (元)	厂商	使用单位	房号	领出人	领出日期	变更情况
94年12月	F-055	折叠椅	90.00						
94年12月	F-056	折叠椅	90.00						
94年12月	F-057	折叠椅	90.00						
95年1月	F-058	沙发(一套:1长5短)	1580.00						
95年3月	F-059	木软椅	92.00						
95年3月	F-060	木软椅	92.00						
95年3月	F-061	木软椅	92.00						
95年3月	F-062	木软椅	92.00						
95年3月	F-063	木软椅	92.00						
95年3月	F-064	木软椅	92.00						
95年3月	F-065	木软椅	92.00						
95年3月	F-066	木软椅	92.00						
95年3月	F-067	木软椅	92.00						
95年3月	F-068	木软椅	92.00						
95年3月	F-069	书柜	360.00						
95年3月	F-070	书柜	360.00						
95年3月	F-071	书柜	360.00						
95年3月	F-072	书柜	360.00						

中国矿产资源探查研究中心
家俱登记表

购入日期	编号	名称	价格 (元)	厂商	使用单位	房号	领出人	领出日期	变更情况
95年3月	F-073	书柜	360.00						
95年3月	F-074	书柜	360.00						
95年3月	F-075	书柜	360.00						
95年3月	F-076	书柜	360.00						
95年3月	F-077	书柜	360.00						
95年3月	F-078	书柜	360.00						
95年3月	F-079	写字台	410.00						
95年3月	F-080	写字台	410.00						
95年3月	F-081	写字台	410.00						
95年3月	F-082	写字台	410.00						
95年3月	F-083	写字台	410.00						
95年3月	F-084	写字台	410.00						
95年3月	F-085	写字台	410.00						
95年3月	F-086	写字台	410.00						
95年3月	F-087	写字台	410.00						
95年3月	F-088	写字台	410.00						
95年5月	F-089	微机高背转椅	300.00						
95年5月	F-090	微机高背转椅	300.00						

中国矿物资源探查研究中心
家俱登记表

购入日期	编号	名称	价格 (元)	厂商	使用单位	房号	领出人	领出日期	变更情况
95年5月	F-091	微机高背转椅	300.00						
95年5月	F-092	微机高背转椅	300.00						
95年5月	F-093	微机高背转椅	300.00						
95年5月	F-094	微机高背转椅	300.00						
95年5月	F-095	微机桌	400.00						
95年5月	F-096	微机桌	400.00						
95年5月	F-097	微机桌	400.00						
95年5月	F-098	微机桌	400.00						
95年5月	F-099	微机桌	400.00						
95年5月	F-100	微机桌	400.00						
95年10月	F-101	实验桌	200.00	服务公司					
95年10月	F-102	实验桌	200.00	服务公司					
95年10月	F-103	书柜	200.00	服务公司					
95年10月	F-104	书柜	200.00	服务公司					
95年10月	F-105	书柜	200.00	服务公司					
95年10月	F-106	书柜	200.00	服务公司					
95年10月	F-107	书柜	200.00	服务公司					
95年10月	F-108	书柜	200.00	服务公司					

中国矿物资源探查研究中心
家俱登记表

购入日期	编号	名称	价格 (元)	厂商	使用单位	房号	领出人	领出日期	变更情况
95年10月	F-109	书柜	200.00	服务公司					
95年10月	F-110	书柜	200.00	服务公司					
95年10月	F-111	书柜	200.00	服务公司					
95年10月	F-112	书桌	200.00	服务公司					
95年10月	F-113	书桌	200.00	服务公司					
95年10月	F-114	书桌	200.00	服务公司					
96年4月	F-115	茶几	198.00						
96年4月	F-116	两门更衣柜	390.00						
96年4月	F-117	转椅	253.00						
96年5月	F-118	圆沙发椅	220.00	丰陵					
96年5月	F-119	圆沙发椅	220.00	丰陵					
96年5月	F-120	圆沙发椅	220.00	丰陵					
96年5月	F-121	圆沙发椅	220.00	丰陵					
96年5月	F-122	圆沙发椅	220.00	丰陵					
96年5月	F-123	圆沙发椅	220.00	丰陵					
96年5月	F-124	圆沙发椅	220.00	丰陵					
96年5月	F-125	圆沙发椅	220.00	丰陵					
96年5月	F-126	圆沙发椅	220.00	丰陵					

中国矿产资源探查研究中心
家俱登记表

购入日期	编号	名称	价格 (元)	厂商	使用单位	房号	领出人	领出日期	变更情况
96年5月	F-127	圆沙发椅	220.00	丰陵					
96年5月	F-128	圆沙发椅	220.00	丰陵					
96年5月	F-129	圆沙发椅	220.00	丰陵					
96年5月	F-130	圆沙发椅	220.00	丰陵					
96年5月	F-131	圆沙发椅	220.00	丰陵					
96年5月	F-132	圆沙发椅	220.00	丰陵					
96年5月	F-133	圆沙发椅	220.00	丰陵					
96年5月	F-134	圆沙发椅	220.00	丰陵					
96年5月	F-135	圆沙发椅	220.00	丰陵					
96年5月	F-136	圆沙发椅	220.00	丰陵					
96年5月	F-137	圆沙发椅	220.00	丰陵					
96年5月	F-138	铁叉椅子	115.00	看丹光明					
96年5月	F-139	铁叉椅子	115.00	看丹光明					
96年5月	F-140	铁叉椅子	115.00	看丹光明					
96年5月	F-141	铁叉椅子	115.00	看丹光明					
96年5月	F-142	铁叉椅子	115.00	看丹光明					
96年5月	F-143	铁叉椅子	115.00	看丹光明					
96年5月	F-144	铁叉椅子	115.00	看丹光明					

中国矿物资源探查研究中心
俱乐部登记表

购入日期	编号	名称	价格 (元)	厂商	使用单位	房号	领出人	领出日期	变更情况
96年5月	F-145	铁叉椅子	115.00	看丹光明					
96年5月	F-146	铁叉椅子	115.00	看丹光明					
96年5月	F-147	铁叉椅子	115.00	看丹光明					
96年5月	F-148	铁皮文件柜	650.00	看丹光明					
96年5月	F-149	铁皮文件柜	650.00	看丹光明					
96年5月	F-150	铁圆转凳	58.00	看丹光明					
96年5月	F-151	铁圆转凳	58.00	看丹光明					
96年5月	F-152	铁圆转凳	58.00	看丹光明					
96年5月	F-153	铁圆转凳	58.00	看丹光明					
96年5月	F-154	铁圆转凳	58.00	看丹光明					
96年5月	F-155	铁圆转凳	58.00	看丹光明					
96年5月	F-156	铁圆转凳	58.00	看丹光明					
96年5月	F-157	铁圆转凳	58.00	看丹光明					
96年5月	F-158	铁圆转凳	58.00	看丹光明					
96年5月	F-159	铁圆转凳	58.00	看丹光明					
96年5月	F-160	铁圆转凳	58.00	看丹光明					
96年5月	F-161	铁圆转凳	58.00	看丹光明					
96年5月	F-162	铁圆转凳	58.00	看丹光明					

中国矿物资源探查研究中心
家俱登记表

购入日期	编号	名称	价格 (元)	厂商	使用单位	房号	领出人	领出日期	变更情况
96年5月	F-163	铁圆转凳	58.00	看丹光明					
96年5月	F-164	铁圆转凳	58.00	看丹光明					
96年5月	F-165	铁圆转凳	58.00	看丹光明					
96年5月	F-166	铁圆转凳	58.00	看丹光明					
96年5月	F-167	铁圆转凳	58.00	看丹光明					
96年5月	F-168	铁圆转凳	58.00	看丹光明					
96年5月	F-169	铁圆转凳	58.00	看丹光明					
96年5月	F-170	铁圆转凳	58.00	看丹光明					
96年5月	F-171	铁圆转凳	58.00	看丹光明					
96年5月	F-172	铁圆转凳	58.00	看丹光明					
96年5月	F-173	铁圆转凳	58.00	看丹光明					
96年5月	F-174	铁圆转凳	58.00	看丹光明					
96年5月	F-175	铁圆转凳	58.00	看丹光明					
96年5月	F-176	铁圆转凳	58.00	看丹光明					
96年5月	F-177	铁圆转凳	58.00	看丹光明					
96年5月	F-178	铁圆转凳	58.00	看丹光明					
96年5月	F-179	铁圆转凳	58.00	看丹光明					
96年5月	F-180	铁转椅子	125.00	看丹光明					

中国矿物资源探查研究中心
家俱登记表

购入日期	编号	名称	价格 (元)	厂商	使用单位	房号	领出人	领出日期	变更情况
96年5月	F-181	铁转椅子	125.00	看丹光明					
96年5月	F-182	铁转椅子	125.00	看丹光明					
96年5月	F-183	铁转椅子	125.00	看丹光明					
96年5月	F-184	铁转椅子	125.00	看丹光明					
96年5月	F-185	铁转椅子	125.00	看丹光明					
96年5月	F-186	铁转椅子	125.00	看丹光明					
96年5月	F-187	铁转椅子	125.00	看丹光明					
96年5月	F-188	铁转椅子	125.00	看丹光明					
96年5月	F-189	铁转椅子	125.00	看丹光明					
96年5月	F-190	铁转椅子	125.00	看丹光明					
96年5月	F-191	铁转椅子	125.00	看丹光明					
96年5月	F-192	铁转椅子	125.00	看丹光明					
96年5月	F-193	铁转椅子	125.00	看丹光明					
96年5月	F-194	铁转椅子	125.00	看丹光明					
96年5月	F-195	铁转椅子	125.00	看丹光明					
96年5月	F-196	铁转椅子	125.00	看丹光明					
96年5月	F-197	铁转椅子	125.00	看丹光明					
96年5月	F-198	铁转椅子	125.00	看丹光明					

中国矿物资源探查研究中心
家俱登记表

购入日期	编号	名称	价格 (元)	厂商	使用单位	房号	领出人	领出日期	变更情况
96年5月	F-199	铁转椅子	125.00	看丹光明					
96年5月	F-200	铁转椅子	125.00	看丹光明					
96年5月	F-201	铁转椅子	125.00	看丹光明					
96年5月	F-202	铁转椅子	125.00	看丹光明					
96年5月	F-203	铁转椅子	125.00	看丹光明					
96年5月	F-204	铁转椅子	125.00	看丹光明					
96年5月	F-205	铁转椅子	125.00	看丹光明					
96年5月	F-206	铁转椅子	125.00	看丹光明					
96年5月	F-207	铁转椅子	125.00	看丹光明					
96年5月	F-208	铁转椅子	125.00	看丹光明					
96年5月	F-209	铁转椅子	125.00	看丹光明					
96年5月	F-210	木茶具柜	700.00	新兴					
96年5月	F-211	木会议桌	850.00	新兴					
96年5月	F-212	木会议桌	850.00	新兴					
96年5月	F-213	木会议桌	850.00	新兴					
96年5月	F-214	木会议桌	850.00	新兴					
96年5月	F-215	木会议桌	850.00	新兴					
96年5月	F-216	木会议桌	850.00	新兴					

中国矿物资源探查研究中心
家俱登记表

购入日期	编号	名称	价格 (元)	厂商	使用单位	房号	领出人	领出日期	变更情况
96年5月	F-217	木会议桌	850.00	新兴					
96年5月	F-218	木会议桌	850.00	新兴					
96年5月	F-219	木角柜	1300.00	新兴					
96年5月	F-220	木衣帽架	700.00	新兴					
96年5月	F-221	木衣帽架	700.00	新兴					
96年5月	F-222	三门木书柜	1450.00	新兴					
96年5月	F-223	三门木书柜	1450.00	新兴					
96年5月	F-224	三门木书柜	1450.00	新兴					
96年5月	F-225	三门木书柜	1450.00	新兴					
96年5月	F-226	木制实验柜	600.00	看丹光明					
96年5月	F-227	木制实验柜	600.00	看丹光明					
96年5月	F-228	木制实验柜	600.00	看丹光明					
96年5月	F-229	木制实验柜	600.00	看丹光明					
96年5月	F-230	木制实验柜	600.00	看丹光明					
96年5月	F-231	木制实验柜	600.00	看丹光明					
96年5月	F-232	木制实验柜	600.00	看丹光明					
96年5月	F-233	木制实验柜	600.00	看丹光明					
96年5月	F-234	木制实验柜	600.00	看丹光明					

中国矿物资源探查研究中心
家俱登记表

购入日期	编号	名称	价格 (元)	厂商	使用单位	房号	领出人	领出日期	变更情况
96年5月	F-235	木制实验柜	600.00	看丹光明					
96年5月	F-236	木制实验柜	600.00	看丹光明					
96年5月	F-237	木制实验柜	600.00	看丹光明					
96年5月	F-238	木制实验柜	600.00	看丹光明					
96年5月	F-239	木制实验柜	600.00	看丹光明					
96年5月	F-240	木制实验柜	600.00	看丹光明					
96年5月	F-241	木制实验柜	600.00	看丹光明					
96年5月	F-242	木制实验柜	600.00	看丹光明					
96年5月	F-243	木制实验柜	600.00	看丹光明					
96年5月	F-244	木制实验柜	600.00	看丹光明					
96年5月	F-245	木制实验柜	600.00	看丹光明					
96年5月	F-246	木制实验柜	600.00	看丹光明					
96年5月	F-247	木制实验柜	600.00	看丹光明					
96年5月	F-248	木制实验柜	600.00	看丹光明					
96年5月	F-249	木制实验柜	600.00	看丹光明					
96年5月	F-250	木制实验柜	600.00	看丹光明					
96年5月	F-251	木制实验柜	600.00	看丹光明					
96年5月	F-252	木制实验柜	600.00	看丹光明					

中国矿物资源探查研究中心
家俱登记表

购入日期	编号	名称	价格 (元)	厂商	使用单位	房号	领出人	领出日期	变更情况
96年5月	F-253	木制实验柜	600.00	看丹光明					
96年5月	F-254	木制实验柜	600.00	看丹光明					
96年5月	F-255	木制实验柜	600.00	看丹光明					
96年5月	F-256	木制实验柜	600.00	看丹光明					
96年5月	F-257	木制实验柜	600.00	看丹光明					
96年5月	F-258	木制实验柜	600.00	看丹光明					
96年5月	F-259	木制实验柜	600.00	看丹光明					
96年5月	F-260	木制实验柜	600.00	看丹光明					
96年5月	F-261	木制实验柜	600.00	看丹光明					
96年5月	F-262	木制实验柜	600.00	看丹光明					
96年5月	F-263	木制实验柜	600.00	看丹光明					
96年5月	F-264	木制实验柜	600.00	看丹光明					
96年5月	F-265	木制实验柜	600.00	看丹光明					
96年5月	F-266	木制实验桌	420.00	看丹光明					
96年5月	F-267	木制实验桌	420.00	看丹光明					
96年5月	F-268	木制实验桌	420.00	看丹光明					
96年5月	F-269	木制实验桌	420.00	看丹光明					
96年5月	F-270	木制实验桌	420.00	看丹光明					

中国矿物资源探查研究中心
家俱登记表

购入日期	编号	名称	价格 (元)	厂商	使用单位	房号	领出人	领出日期	变更情况
96年5月	F-271	木制实验桌	420.00	看丹光明					
96年5月	F-272	木制实验桌	420.00	看丹光明					
96年5月	F-273	木制实验桌	420.00	看丹光明					
96年5月	F-274	木制实验桌	420.00	看丹光明					
96年5月	F-275	木制实验桌	420.00	看丹光明					
96年5月	F-276	木制实验桌	420.00	看丹光明					
96年5月	F-277	木制实验桌	420.00	看丹光明					
96年5月	F-278	木制实验桌	420.00	看丹光明					
96年5月	F-279	木制实验桌	420.00	看丹光明					
96年5月	F-280	木制实验桌	420.00	看丹光明					
96年5月	F-281	木制实验桌	420.00	看丹光明					
96年5月	F-282	木制实验桌	420.00	看丹光明					
96年5月	F-283	木制实验桌	420.00	看丹光明					
96年5月	F-284	木制实验桌	420.00	看丹光明					
96年5月	F-285	木制实验桌	420.00	看丹光明					